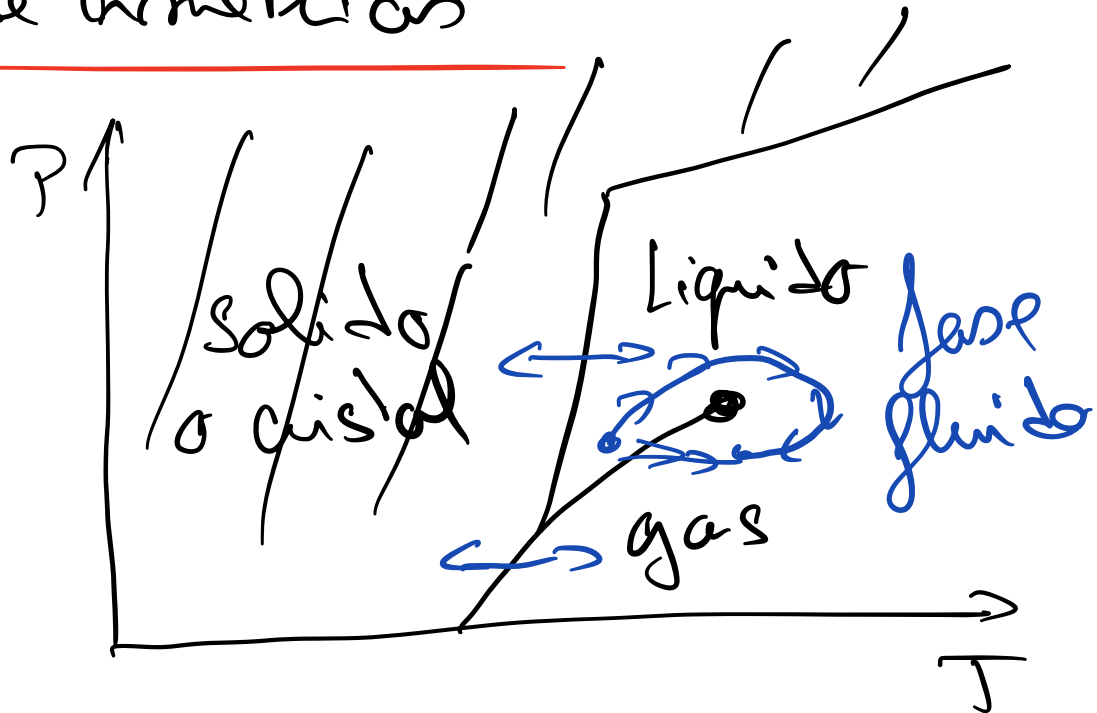
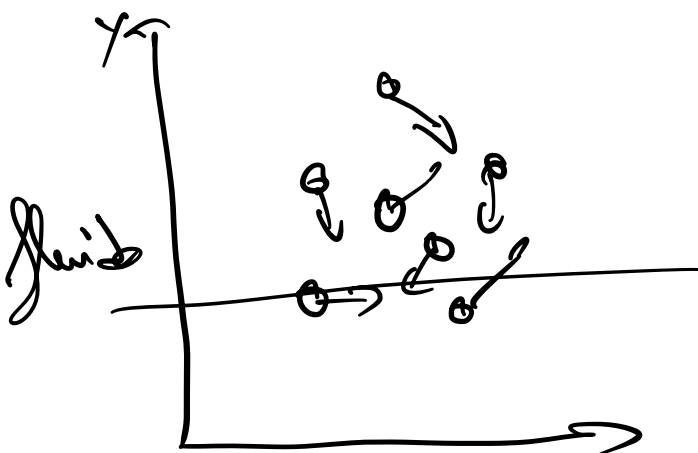


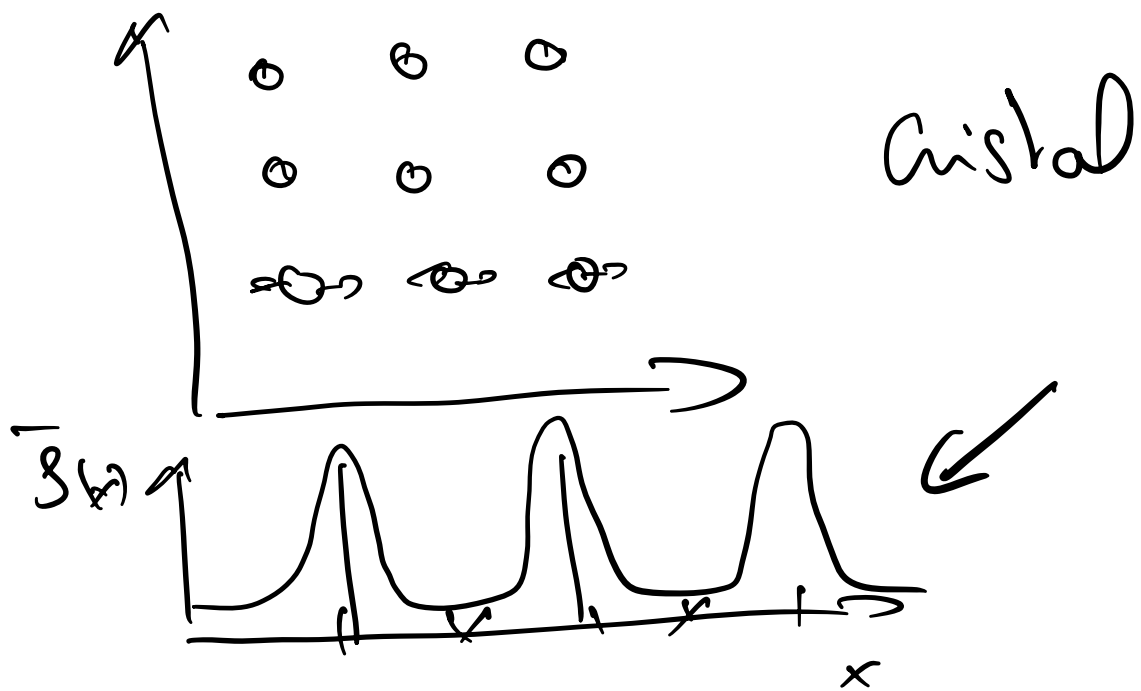
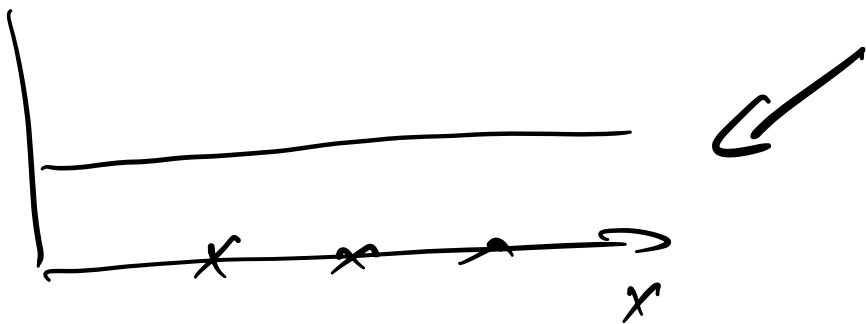
I Introducción a las Transiciones de fases y a la criticalidad

I) Rupturas espontáneas de simetrías





Flüssig



→ ruptura espontánea de la simetría de translación:

$$H = \sum_{i=1}^N \frac{\vec{p}_i^2}{2m} + \frac{1}{2} \sum_{i \neq j} \sqrt{(\vec{r}_i - \vec{r}_j)^2}$$

→ simetría de translación

$$\text{v: } \vec{r}_i \rightarrow \vec{r}_i + \vec{b}$$

→ Clasificación de los estados

de la molécula

→ Noción de grupos de simetría

2) El modelo de Iminy



$$\sigma_i = \pm 1$$

ejemplo 1 magnetismo de espines $\frac{1}{2}$
por razones energéticas,

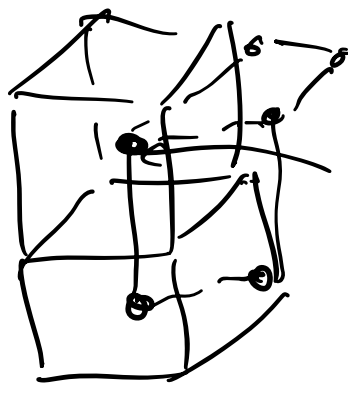
$$\sigma_i = \frac{2}{n} S_i^z = \pm 1$$



ejemplo 2 mallas binarias



Body centred Cubic



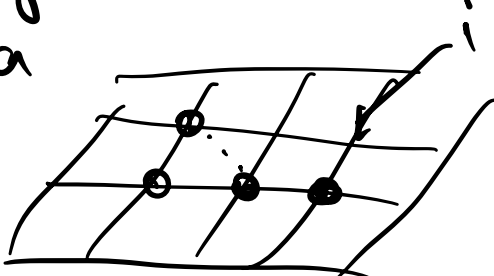
$$Zn \rightarrow \sigma_i = +1$$

$$Cu \rightarrow \sigma_i = -1$$

$$f = - \sum_{i \neq j} J_{ij} \frac{\phi_i \phi_j}{\| \phi_i \|^2}$$

obs
 $\frac{1}{\| \phi_i \|^2} = 1$

el acceptante los
 "hilos" i y j , en general \rightarrow
 red regular, por ejemplo la red
 Anhanda



$J_{ij} \neq 0$ si i y j son primos

Veinos

Simetría

$$\left. \begin{array}{l} \forall i, \sigma_i \rightarrow \pm \sigma_i \\ \forall i, \sigma_i \rightarrow -\sigma_i \end{array} \right\}$$

\rightarrow grupo $\mathbb{Z}_2 \hookrightarrow \{1, -1\}$

el caso de tres vecinos.

Sea $J_{ij} = \begin{cases} 3 & \text{si } i \neq j \text{ son los vecinos} \\ 0 & \text{mismo} \end{cases}$

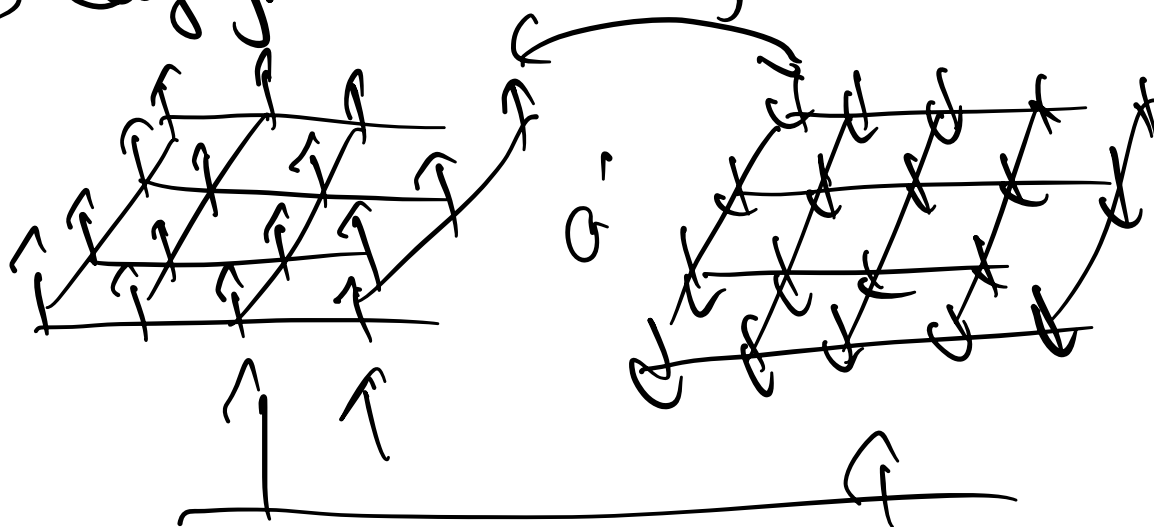
$$H = -J \sum_{\langle ij \rangle} \sigma_i \sigma_j, \quad J > 0$$

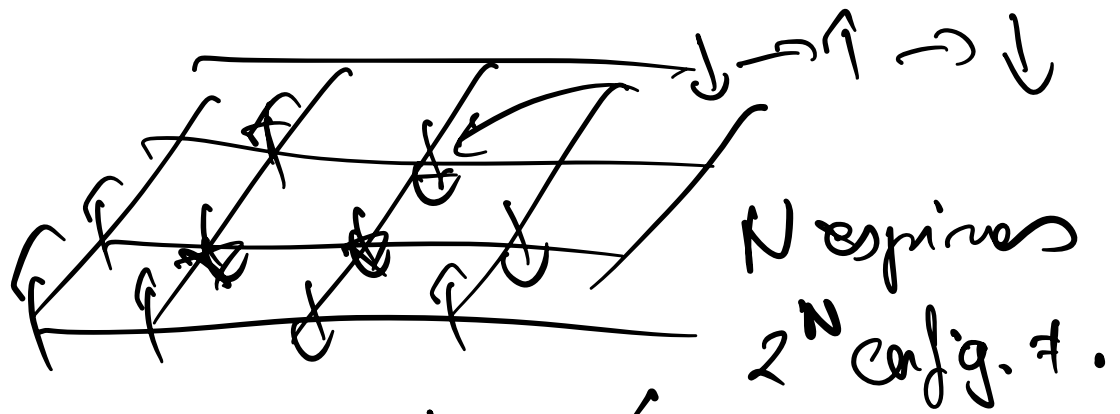
Configuración con más baja energía.

$$\sigma_i = +1 \rightarrow \uparrow$$

$$\sigma_i = -1 \rightarrow \downarrow$$

→ config. ↓ más baja energía





función de partición:

$$Z(h) = \sum_{\{G_i\}} e^{-\beta f_1(h)}$$

$$F = -k_B T \ln Z(h)$$

$f_1(h)$ is defined as

$$f_1(h) = -\sum_{i,j} S_{ij} G_i G_j - h \sum_i G_i$$

range la inveria

Valores medios

$$m_i = \langle \sigma_i \rangle = \frac{1}{2} \left[\sum_{\{\sigma_j\}} e^{-\beta H} \sigma_i \right]$$

por ejemplo $\langle \sigma_i \sigma_j \rangle$

$$= \frac{1}{2} \left[\sum_{\{\sigma\}} e^{-\beta H} \sigma_i \sigma_j \right]$$

Magnetización total

$$\bar{M} = \sum_i m_i = \frac{1}{2} \left[\sum_{\{\sigma\}} e^{-\beta H} \left(\sum_i \sigma_i \right) \right]$$

$$\sum_i \langle \sigma_i \rangle = \langle \sum_i \sigma_i \rangle$$

Obs (ej)

$$H = \frac{1}{\beta} \frac{\partial}{\partial h} \ln Z(h)$$

Energia libre: $Z = e^{-\beta F}$

$$F = -\frac{1}{\beta} \ln Z$$

$$\rightarrow P_i = e^{-\beta h_i} F \quad \leftarrow$$

Susceptibilidad

$$\chi(h) = \frac{\partial P(h)}{\partial h} = \frac{1}{\beta} \frac{\partial^2}{\partial h^2} \ln Z$$

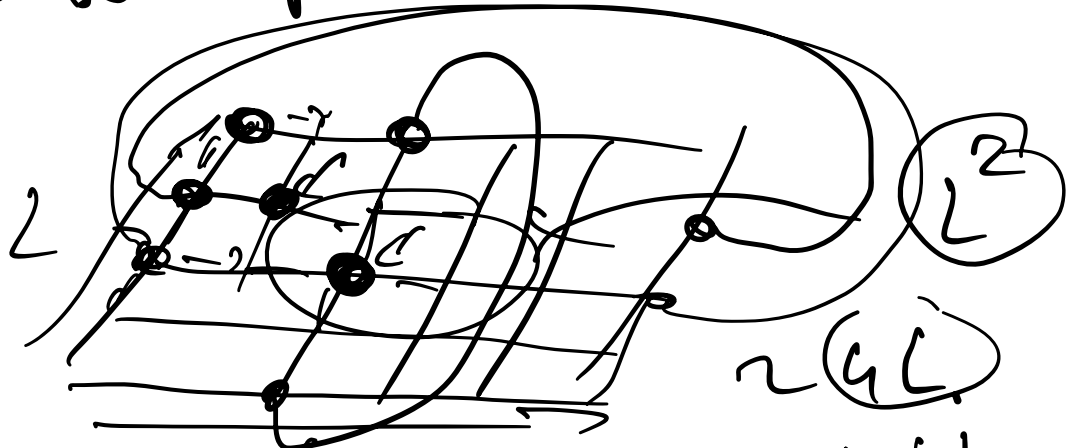
e.i. $= -\frac{\partial^2}{\partial h^2} F$

$$= \frac{\beta T}{Z(h)} \left[\sum_{ij} e^{-\beta H(h)} \sum_{kij} G_{ik} G_{kj} \right]$$

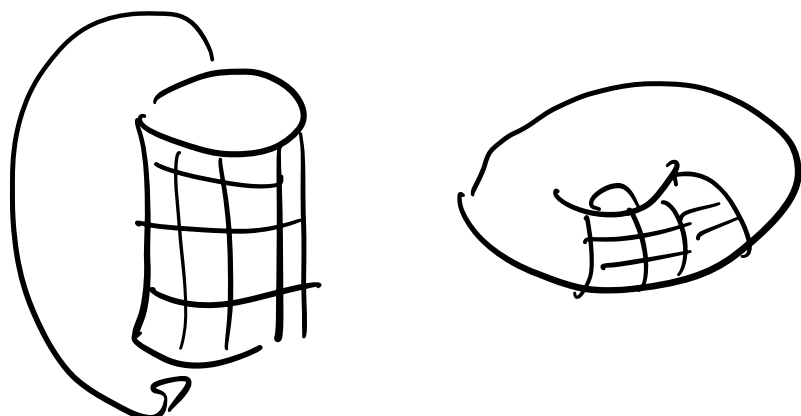
$$- \beta \left[\frac{1}{Z(h)} \sum_{ij} e^{-\beta H(h)} \sum_{ki} G_{ki} \right]^2$$

$$X(\omega) = \beta \sum_{\forall i, j} [c_{ij} c_j^* - c_{0j}^* c_{0j}]$$

El caso en el que todos los n\'umeros son equivalentes



→ condiciones de b.c., periódicas



γ_i fädel Position der Igu.

$$\langle \sigma_i \rangle = m_i = m$$

$$H = N_m$$

\sum # degeneres

$$X = \beta \sum_{i,j} \langle \sigma_i \sigma_j \rangle - \beta N^2 m^2$$

$$E = \frac{1}{Z(\beta)} \sum_{\text{Sof}} e^{-\beta H(\text{S})}$$

$$= -\frac{\partial}{\partial \beta} \ln Z(\beta)$$

Color specific:

$$C = \frac{\partial E}{\partial T} = -k_B \beta^2 \frac{\partial E}{\partial \beta}$$

$$= k_B \beta^2 \frac{\partial^2}{\partial \beta^2} \ln Z$$

función de correlación: (correlación)

$$\langle \sigma_i \sigma_j \rangle_c = \langle \sigma_i \sigma_j \rangle - \langle \sigma_i \rangle \langle \sigma_j \rangle$$

obs $\chi = \beta \sum_{ij} \langle \sigma_i \sigma_j \rangle_c$

$$\langle \sigma_i \sigma_j \rangle_c \underset{d_{ij} \rightarrow \infty}{\sim} e^{-\frac{d_{ij}}{r}}$$

d_{ij} = Distancia entre "i" y "j"

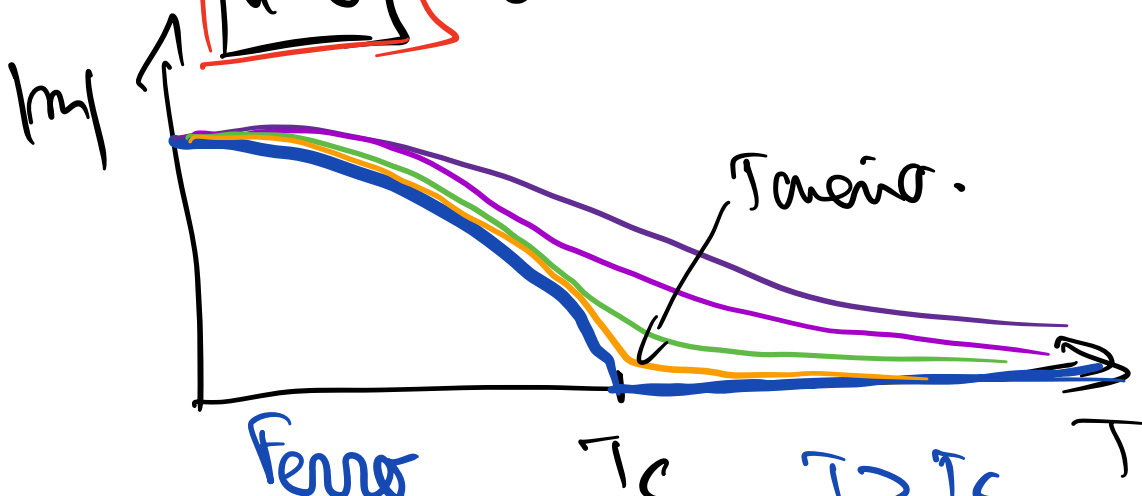
{ longitud de correlación }

Comparación con T :

$\beta \geq 2$

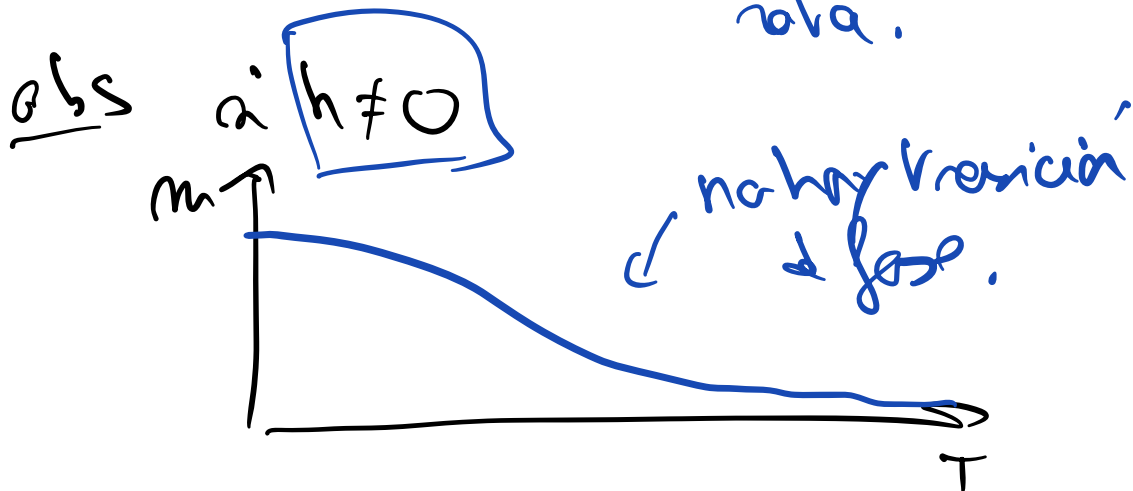
$\beta = \text{dimensión espacial.}$
(no para $\beta = 1$)

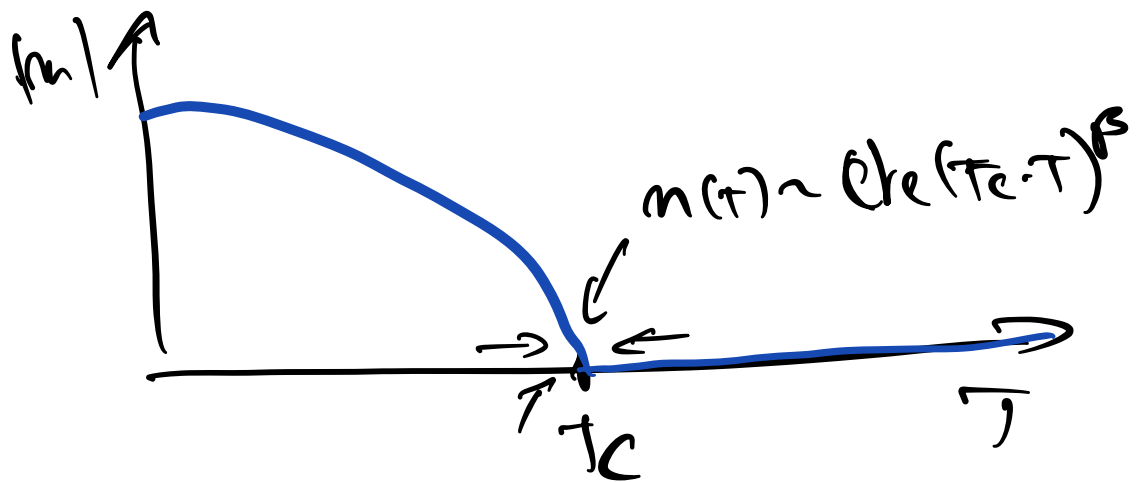
en el límite $N \rightarrow \infty$



dim. \mathbb{Z}_2 rara
 $T < T_c$

base PARA
dim \mathbb{Z}_2 más estrecha
rara.

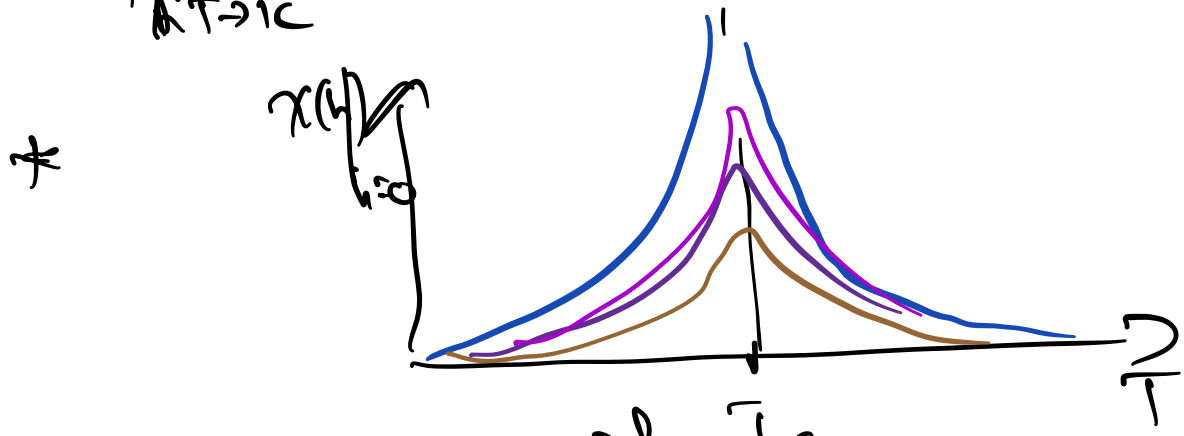




$$T \approx T_c \quad T < T_c$$

* $|m| \sim (T_c - T)^\beta$

* $\lim_{T \rightarrow T_c} \varrho = \infty, \quad \varrho \sim |T - T_c|^{-\nu}, \quad \nu > 0$



$$\left. \frac{\chi(h)}{N} \right|_{h=0} \sim |T - T_c|^\delta$$

$$\frac{C}{N} \sim |T - T_c|^{-\alpha}$$

si $T = T_c$ ($\xi \rightarrow \infty$)

$$\langle \sigma_i \sigma_j \rangle_c \sim \frac{1}{d_{ij}^{d-2+\eta}}$$

relaciones descalas: (scaling)

$$2d = 2 - \alpha = 2\beta + \delta$$

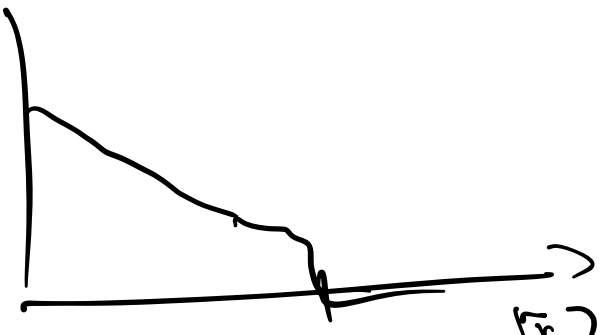
$$2 - \eta = \frac{\delta}{\beta}$$

$$X = \beta N \sum_i \langle \sigma_i \sigma_i \rangle$$

$$\Rightarrow \frac{X}{N} \sim \int d^d r \langle \sigma(0) \sigma(r) \rangle_c$$

$T \neq T_c$ es falso

$\langle \sigma(v) \sigma(\bar{v}) \rangle$



$$\frac{\chi}{n} \sim \int \frac{1}{n^{d-2+\eta}} r_{\eta}^{\eta} \sim r_{\eta}^{2-\eta} = (T - T_c)^{2(2-\eta)}$$

$$(T - T_c)^{-2\eta}$$